

Neutraalissa tapauksessa ajateltiin  
tuuli väännettä

$$-\overline{u'w'} \frac{\partial \bar{u}}{\partial z}$$

"järkeiltiin" että se riippuu suureista  
 $\overline{u'w'}$  ja  $z$ , ja haluttiin dimensioiton  
skaalaus. Lisäksi on tapana merkitä

$$u_* = \sqrt{-\overline{u'w'}}$$



$$-\overline{u'w'} \frac{\partial \bar{u}}{\partial z}$$

$-\overline{u'w'}$  saadaan dimensiottomaksi skaalautamalla se itsellään, eli  $u_*^2$  :lla. Triviaalia.

$$\left[ \frac{\partial \bar{u}}{\partial z} \right] = \frac{m/s}{m} = \frac{1}{s}$$

$$\left[ u_* \right] = \frac{m}{s} \quad [z] = m$$

$$\left[ \frac{u_*}{z} \right] = \frac{1}{s}$$

$$\frac{-\overline{u'w'} \frac{\partial \bar{u}}{\partial z}}{u_*^2 \frac{u_*}{z}}$$

$$\Rightarrow \frac{z}{u_*} \frac{\partial \bar{u}}{\partial z}$$

## Dimensioton tuuliväanne

3

$$\frac{z}{u_*} \frac{\partial \bar{u}}{\partial z}$$

Empiirisesti havaitaan että tämä on neutraalissa pintakerroksessa vakio

$$\frac{z}{u_*} \frac{\partial \bar{u}}{\partial z} = \text{vakio} = \frac{1}{k} \quad \text{von Kármánin vakio}$$

Integroidaan saatiin logaritminen tuuliprofiili

$$u(z) = \frac{u_*}{k} \ln \left( \frac{z}{z_0} \right)$$

Huomautus: dimensioton tuuliväanne

$$\frac{z}{u_*} \frac{\partial \bar{u}}{\partial z} = \frac{1}{k}$$

yleensä kuitenkin on tapana merkitä että

$$\phi_m = \frac{kz}{u_*} \frac{\partial \bar{u}}{\partial z} = 1$$

on dimensioton tuuliväanne.

(Von Kármánin vakio  $k$  on dimensioton)

Tuuliväanne:  $-\overline{u'w'}$   $\frac{\partial \bar{u}}{\partial z}$

Huomautus: koska normalisoidessa  $\overline{u'w'}$  katoaa kun se jaetaan itsellään (eli  $u_*^2$ :lla), voidaan normalisoida muotoa

$$\frac{kz}{u_*} \frac{\partial \bar{u}}{\partial z}$$

yhtä hyvin ajatella tuuliväanteen, tai myös tuuligradientin (eli  $\frac{\partial \bar{u}}{\partial z}$ :n) dimensioitottomana muotona.

Monin & Obukhov (1954) järkeilivät että lämmön (ja kosteuden) läsnäollessa

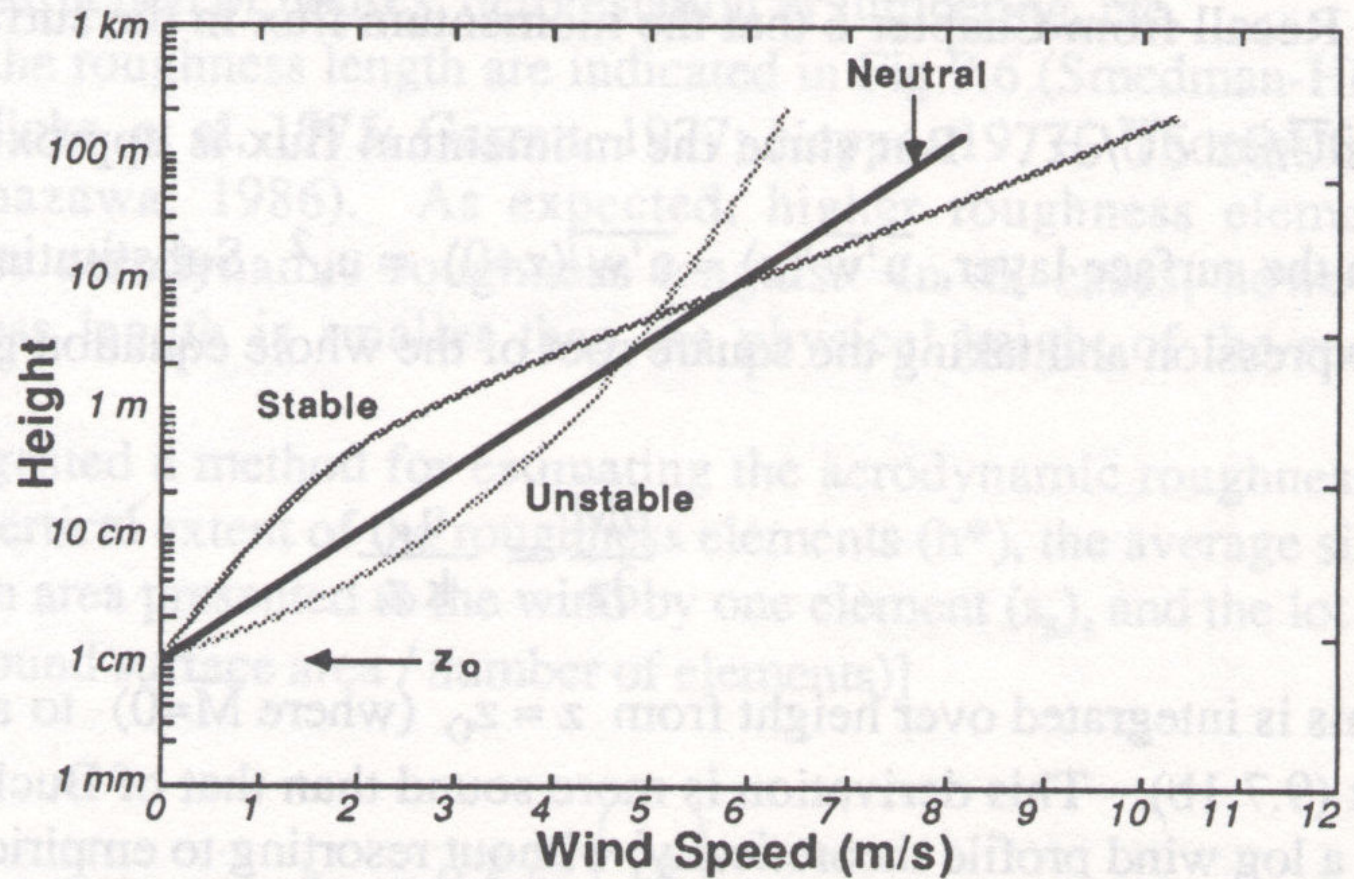
"asiat" pintakerroksessa riippuvat suureista

$$z, u_* , \frac{g}{\bar{\theta}_v}, \overline{-w'\theta'_v}$$

↑  
noste

↑  
virtuaali potentiaali: lämpötilan pystyvuoto (pinnassa)

**Fig. 9.5**  
Typical wind speed profiles vs. static stability in the surface layer.



### 9.7.1 Wind Profile in Statically Neutral Conditions



Nyt jos kuvittelisi tekevänsä dimensioanalyysia <sup>7</sup>  
 ja näistä haluaisi dimensioittoman yhdistelmän,  
 pitää selvästikin z jakaa jollain yhdistelmällä

$$\left[ \frac{z}{L} \right] = \frac{m}{m} = 1$$

Saadtaan: 
$$L = \frac{-u_x^3}{\frac{g}{\bar{\rho}} \overline{w'\theta_v'}} = \frac{-\bar{\rho} u_x^3}{g \overline{w'\theta_v'}}$$

$$\left[ \frac{-\bar{\rho} u_x^3}{g \overline{w'\theta_v'}} \right] = \frac{T \frac{m^3}{s^3}}{\frac{m}{s^2} \frac{m}{s} T} = m$$

(T = mikä ikinä  
 onkaan  
 θ:n yksikkö)

tata kutsutaan: Obukhov - pituus

$$L = \frac{-\bar{\theta}_v u_*^3}{k g \overline{w'\theta'_v}}$$



gleensä tuo von Kármánin vakio

vielä tungetaan tuonne.

(Stull, Garrat, jne.)

Toinen tapa ajatella asiaa:

TKE - yhtälö

väanne

noste

$$\frac{dk}{dt} = -\frac{d}{dz} \left[ \overline{k_x w'} + \frac{\overline{p' w'}}{\rho} \right] - \overline{u' w'} \frac{d\bar{u}}{dz} + \frac{g}{\bar{\theta}_v} \overline{w' \theta'_v} - \epsilon$$

Tästä saadaan dimensioton kertomalla puolittain

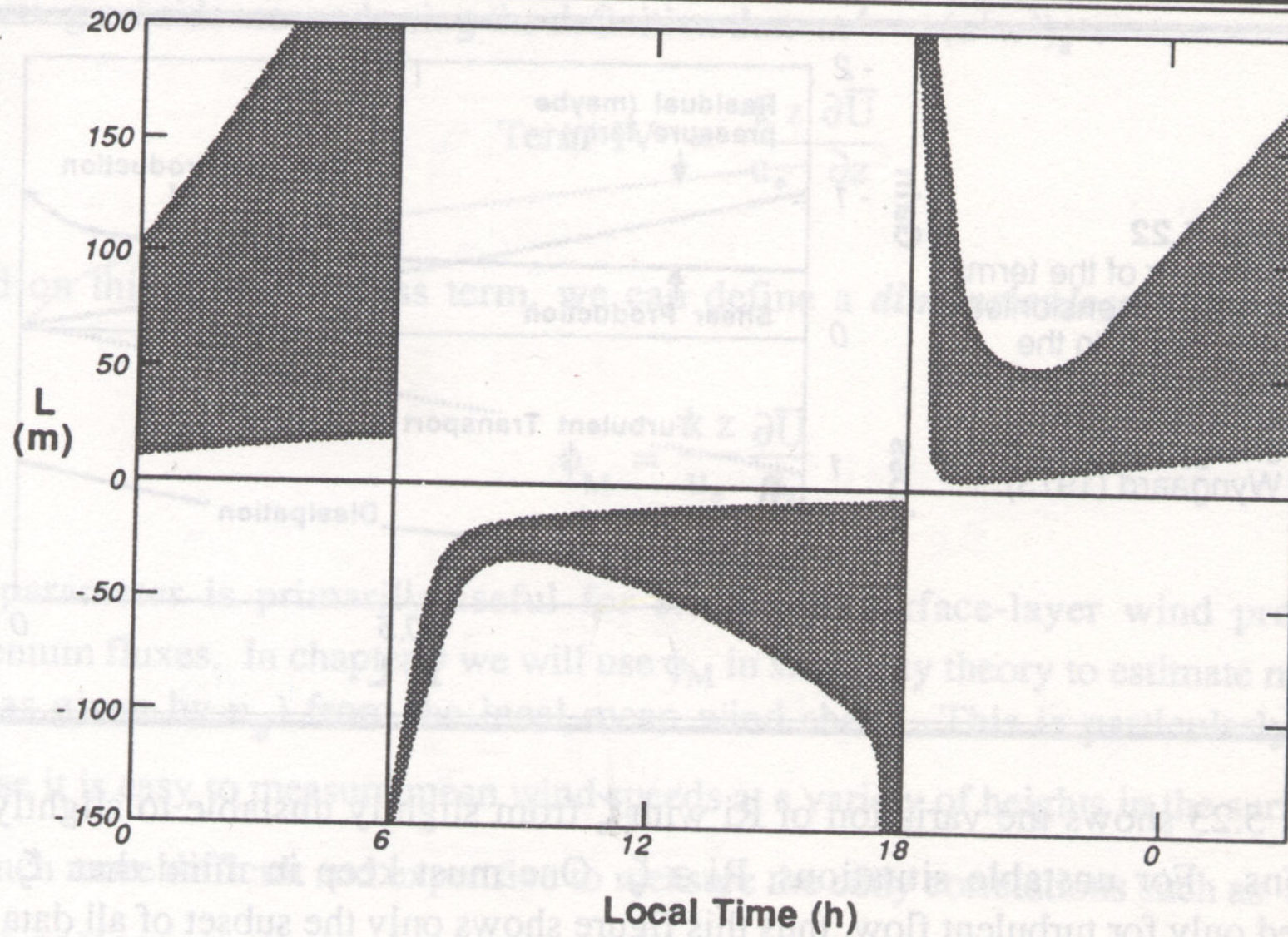
$$\frac{z}{L} :lla. \quad \left[ \frac{z}{L} \right] = \frac{m}{\frac{m^3}{s^2}} = \frac{s^2}{m^2} \quad \left[ \frac{dk}{dt} \right] = \left[ \frac{\rho \frac{1}{2} (\overline{u'^2 + v'^2 + w'^2})}{dt} \right]$$

$$= \frac{m^2/s^2}{s} = \frac{m^2}{s^3}$$

noste termi:  $\frac{z g \overline{w' \theta'_v}}{\bar{\theta}_v L} = \frac{z}{L}$

(saadaan myös dimensioton väanne)





**Fig. 5.21** Typical ranges of Obukhov length ( $L$ ) evolution over a diurnal cycle.

## Huomautuksia

Prussa on merkitty

$$H = \rho c_p \overline{\theta'w'} \quad \text{Havaittavan lämmön vuo}$$

$$Q = \overline{\theta'w'} \quad \text{Kinemattinen lämmön vuo}$$

$$E = \rho \overline{q'w'} \quad \text{vesihöyryvuo}$$

ja

$$T_* = \frac{-Q}{u_*} = \frac{-\overline{\theta'w'}}{u_*} \quad \text{skaala lämpötila} \quad [T_*] = [\theta']$$

$$q_* = \frac{-E}{\rho u_*} = \frac{-\rho \overline{q'w'}}{\rho u_*} \quad \text{skaala kosteus} \quad [q_*] = [q]$$

Prujussa on: 
$$L = \frac{-T u_x^3}{k\theta \beta Q}$$

Meillä/stallissa oli: 
$$L = \frac{-\bar{\theta}_v u_x^3}{k\theta \overline{w'\theta_v'}}$$

eli  $\beta Q = \beta \overline{\theta'w'}$  vs.  $\overline{w'\theta_v'}$

$\beta$  kuvaa kosteuden vaikutusta nostoseen.

Samoin, edellä teimme dimensioanalyysiä  
summeilla:

$$z, u_* , \frac{q}{\theta}, \overline{-w'\theta'}$$

Projissa:

$$z, u_* , \frac{q}{\theta}, Q = \overline{\theta'w'}, E = \rho \overline{q'w'}$$

Eli kosteuden voi käsitellä erikseen, tai  
osana virtuaalipotentialilämpötilaa.



Nyt toivotaan että

$$(\text{zeta}) \quad \xi = \frac{z}{L}$$

on oikealla lailla skaalattu dimensioton korkeus  
 erilaisissa oloissa, ja että dimensioittomat  
 gradientit

$$\frac{z}{u_*} \frac{\partial u}{\partial z}, \quad \frac{z}{T_*} \frac{\partial \theta}{\partial z}, \quad \frac{z}{q_*} \frac{\partial q}{\partial z}$$

voidaan ilmaista  $\xi$  in funktiona.

(tästä eteenpäin  $u = \bar{u}$ )

$$\frac{z}{u_*} \frac{\partial u}{\partial z} = \frac{1}{k} \phi_m(\xi)$$

$$\frac{z}{T_*} \frac{\partial \theta}{\partial z} = \frac{1}{k} \phi_h(\xi)$$

$$\frac{z}{q_*} \frac{\partial q}{\partial z} = \frac{1}{k} \phi_n(\xi)$$

Huomautus:

$$L = \frac{-\bar{\theta}_v u_x^3}{k g \overline{w' \theta_v'}}$$

Stabiilissa tilanteessa  $\overline{w' \theta_v'} \approx \pm 0$

joten  $L = \pm \infty$

joten  $\xi = \frac{z}{L} = \pm 0$

$$\frac{z}{u_*} \frac{du}{dz} = \frac{1}{k} \phi_m(\xi)$$

Stabilissa  $\xi = 0$

jos  $\phi_m(0) = 1$ , saadaan

logaritminen tulilaki:

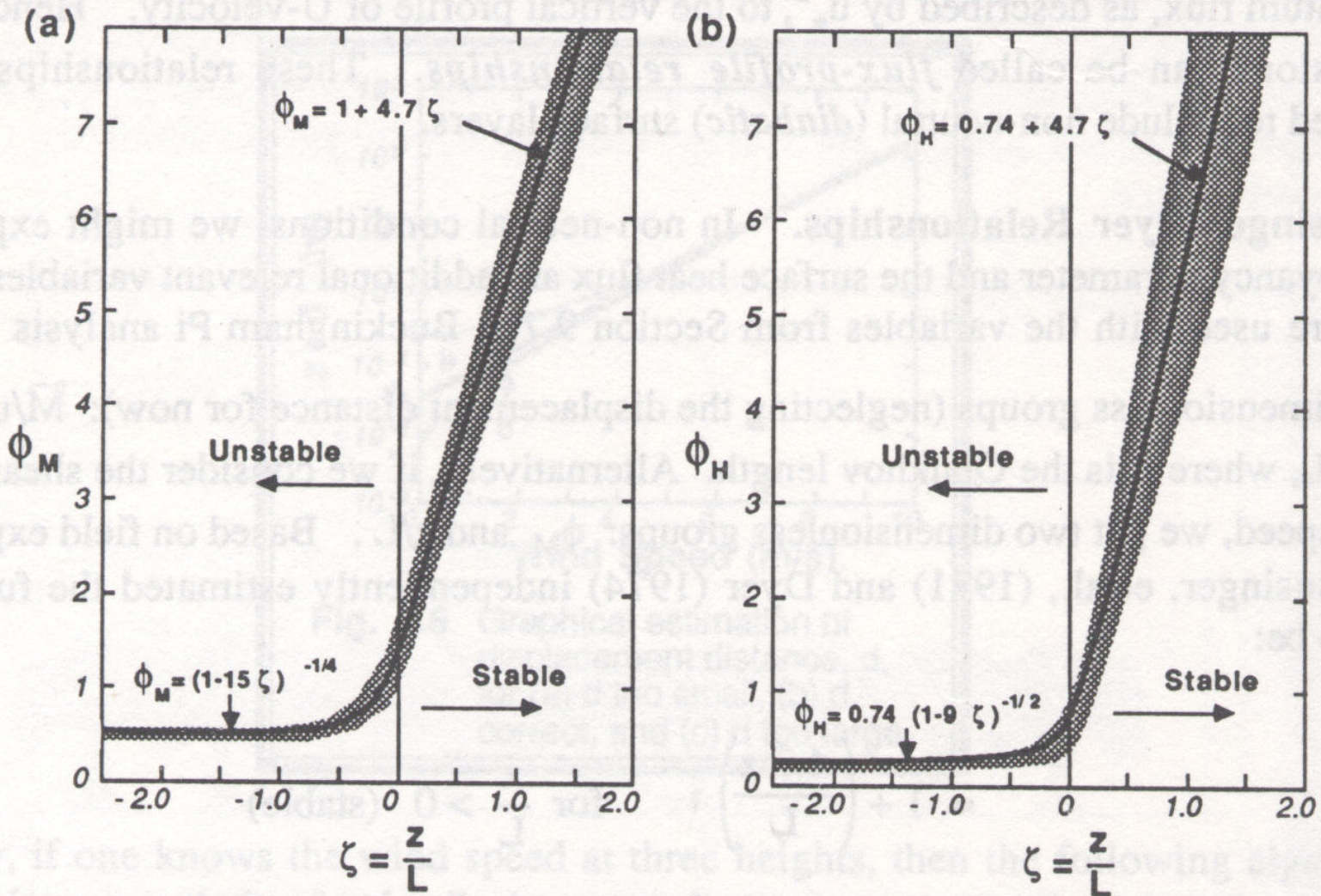
$$\frac{z}{u_*} \frac{du}{dz} = \frac{1}{k}$$

Businger & al. (1971) ja Dyer (1974)

ovat katselleet dataa ja ehdottavat:

$$\phi_n\left(\frac{z}{L}\right) = \begin{cases} 1 + 4.7 \frac{z}{L} & \frac{z}{L} > 0 \text{ stabiili} \\ 1 & = 0 \text{ neutraali} \\ \left(1 - 15 \frac{z}{L}\right)^{-\frac{1}{4}} & < 0 \text{ epästabiili} \end{cases}$$

$$\phi_h\left(\frac{z}{L}\right) = \begin{cases} \frac{K}{K_0} + 4.7 \frac{z}{L} \\ \frac{K}{K_0} \\ \frac{K}{K_0} \left(1 - 9 \frac{z}{L}\right)^{-\frac{1}{4}} \end{cases} \quad \left( \begin{array}{l} \text{Pruussa hieman} \\ \text{erilaiset} \end{array} \right)$$



**Fig. 9.9** (a) Range of dimensionless wind shear observations in the surface layer, plotted with interpolation formulas. (b) Range of dimensionless temperature gradient observations in the surface layer, plotted with interpolation formulas. After Businger, et al. (1971).

Prujun kuva 3, monia muitakin  
enemmän tai vähemmän saman  
muotoisia funktioita on ehdotettu.  
Yhteen sopivuus datan kanssa ei ole  
täydellistä, erityisesti stabiilissa.

Huomautus:

19

Vaihtokerroimen määritelmä oli:

$$\overline{u'w'} = -K_m \frac{\partial \bar{u}}{\partial z}$$

$$\overline{\theta'w'} = -K_h \frac{\partial \bar{\theta}}{\partial z}$$

$$\overline{q'w'} = -K_n \frac{\partial \bar{q}}{\partial z}$$

$$K_m = - \frac{\overline{u'w'}}{\frac{\partial \bar{u}}{\partial z}}$$

$$\frac{\partial \bar{u}}{\partial z} = \frac{u_*}{z k} \phi_m(\zeta) \quad \Rightarrow \quad K_m = \frac{u_*^2}{\frac{u_*}{z k} \phi_m(\zeta)}$$

$$K_m = \frac{z k u_*}{\phi_m(\zeta)}$$

$$\phi_m > 1, \zeta > 0$$

$$0 < \phi_m < 1, \zeta < 0$$



Viälä tekaisin TKE -yhtälöön:

20

$$\frac{\partial k}{\partial t} = T - \overline{u'w'} \frac{\partial \bar{u}}{\partial z} + \frac{g}{\alpha} \overline{\theta'w'} - \epsilon$$

$\nwarrow$  S                                   $\nwarrow$  B

$$Ri_f = \frac{B}{-S} = \frac{\frac{g}{\alpha} \overline{\theta'w'}}{\overline{u'w'} \frac{\partial \bar{u}}{\partial z}}$$

edeltä:  $\frac{\partial \bar{u}}{\partial z} = \frac{u_*}{z k} \phi_m$

$$Ri_f = \frac{z k g \overline{\theta'w'}}{-\alpha u_*^3 \phi_m} = \frac{z}{L} \frac{1}{\phi_m}$$